

## 基礎の支持力について

京都大学工学部

同

正真

村山 朔郎

柴田 徹

建設省四国地方建設局

同

○遠見 隆二

粘土地盤を対象として摩擦ゲイならびに平板の静態時および動態時の沈下、支持力特性を模型実験によって究明した。

## 実験方法：一

実験に使用した試料は太鼓冲積層より採集した粘土で、これを2コの鋼製円筒土槽（土槽-(1), 土槽-(2)、いずれもクイ実験用、内径55cm、高さ85cm）および1コの木製土槽（土槽-(3)、平板実験用、10"×10"×0.8"）にそれぞれ70cm深さに詰めた。土槽に粘土を詰め隙間に採掘時にかされたものをランマーでたたきながら空ゲキの残りをふくらました。このように填充した結果、粘土は完全に乱された状態近くの3の填充後、土槽-(3)については粘土表面にろ紙を約5mm厚に敷き、その上から方形鋼板を介して荷重を載荷し、約3ヶ月間圧密しつゝ強度回復をすった。土槽-(1), (2)は填充後、約1年間放置した。その結果コーンペネトロメータ（コーンの底面積1m<sup>2</sup>、先端角30°）により測定した粘土層の深さ方向の粘着強度分布は図-1のようである。模型ゲイは径40cm長さ50cm、先端角30°の中空真鍮製のものを2本使用し、模型平板は直径25cm、厚さ5mmアルミ製のものを使用したが、それぞれの実験装置は図-2、図-3に示す。振動機は2軸偏心・往復万次式のものを、駆動には1/8HP万次モーターを、動力の伝達にはフレキシブル・シャフトを使用した。沈下量測定にはダイヤルゲージを、振動測定には手持振動計を用いた他、振動数の測定は駆動モータの回転数をタコ・メータで測ることによって代用し、振動力は振動数および偏心重量の重量と半径によって計算で求めた。

## 実験結果：一

クイの動態時の支持力を調べるに先立つて図-2の系（クイを含めた全重量: P=5kg）の静的支持力を求めたため振動機を停止させた

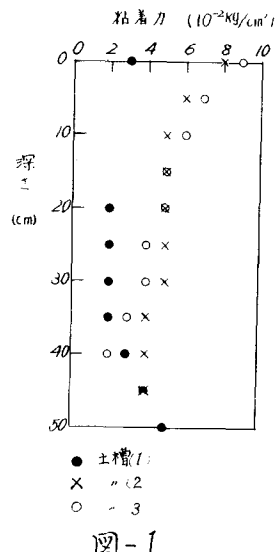


図-1

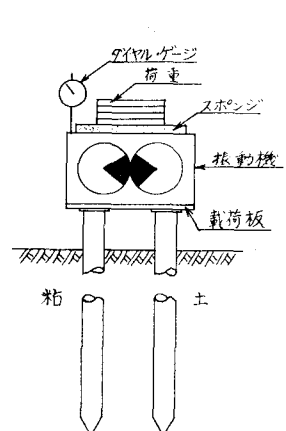


図-2

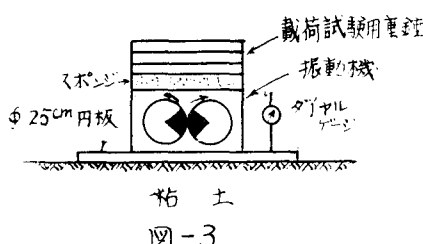


図-3

状態で載荷試験を行つた。これは荷重  $P$  を 1 分間の等時隔に段階的に増加していく荷重制御方式によつて行つた。各載荷段階における最終沈下量をとり、図-4①に示すごとく荷重～沈下量関係を両対数紙上にプロットして直線か折れ線に対応する荷重としてクイの静的降伏支持力を求めた。<sup>1)</sup> クイの動態時の支持力は、図-2 の系で振動機を運転しつつ静的降伏支持力の場合と同様に荷重を等時隔で増加して荷重～沈下量関係を求めた。図-4②はその一例である。振動力  $P = 5 \times \cos \omega t \text{ kg}$  を与えた場合のもので、動態時の降伏支持力は静的降伏支持力より小であるが、動態時の支持力は振動数によって異るから共振振動数附近の条件の悪い場合には著しく低下することが予想される。

この図で(a), (b), (c), (d) はいずれも共振振動数 ( $\approx 1300 \text{ C.P.M.}$ ) において曲線のピークが表われている。

図-6は振動数をパラメータとして  $P_0$  と  $P_1$  とをともに変化させ  $P_0 = P_1$  の状態で振動実験を行つた結果を振動力をパラメータとして、降伏

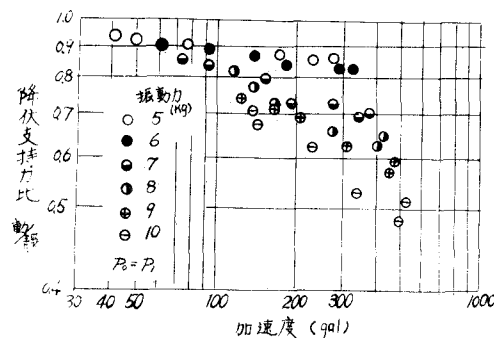


図-6

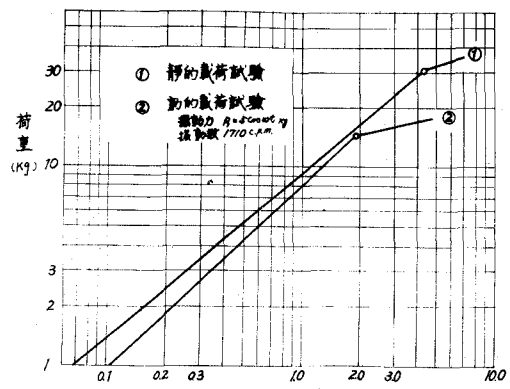


図-4

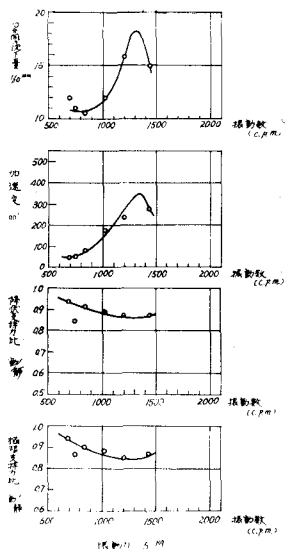


図-5

支持力比（静的降伏支持力と動態時の降伏支持力との比）と振動加速度との関係を両対数紙上にプロットしたものである。この図で両者は直線関係にあり、その勾配は振動力の増加にしたがって大きくなる。すなはち動態時の降伏支持力の減少率は、最大振動加速度に上って一義的に走ることがわかる。

平板の動態時載荷試験においても、クイの場合と類似の振動特性が得られたが、詳細は講演会にゆずる。

1) 村山耕郎、柴田徹；摩擦グリの支持力とその新測定法、土木学会論文集 第59号、pp. 45-56、昭33-11